

LTspice 上で ラプラス変換を利用し、 伝達関数のモデルを構築する

著者: Joseph Spencer、フィールド・アプリケーション・エンジニア

概要

フィルタや電源などの電子システム/制御システムを設計する 際には、伝達関数が利用されます。そして、伝達関数の解析を 周波数領域で行う場合には、ラプラス変換を利用すると便利で す。本稿では、LTspice®を使って伝達関数のモデリングを実 施する方法を説明します。いくつかの現実的な例を基に、モデ ルの応答と現実の回路の応答を比較しながら検討を進めること にします。また、本稿の内容を実際の設計に活用できるように、 数多くのサンプル・ファイルを提供します。

はじめに

伝達関数は、システムの入力に応じて出力がどのように変化する のか解析するために使用されます。システムの出力の例としては、 抵抗分圧器の出力電圧や、アクセルを踏み込んだときの車速など が挙げられます。システムの解析を実施する際には、入力に対す る出力の振幅と位相の変化を周波数領域で確認するということが よく行われます。その際、よく使用されるのがラプラス変換です (以下参照)。

$$F(s) = \int_{0}^{\infty} f(t)e^{-st} dt$$

ラプラス変換について数学的または直感的に説明する文献は、数 多く提供されています。本稿では、ラプラス変換は、システムの ゲイン、周波数、位相、指数関数的応答を調べるための単なる数 学的な手段だと見なして話を進めることにします。伝達関数の基 本的な概念は、図1のように表すことができます。



図1. 伝達関数の概念

図2に、伝達関数について理解するための回路例を示しました。 この回路には、2つの出力が存在します。

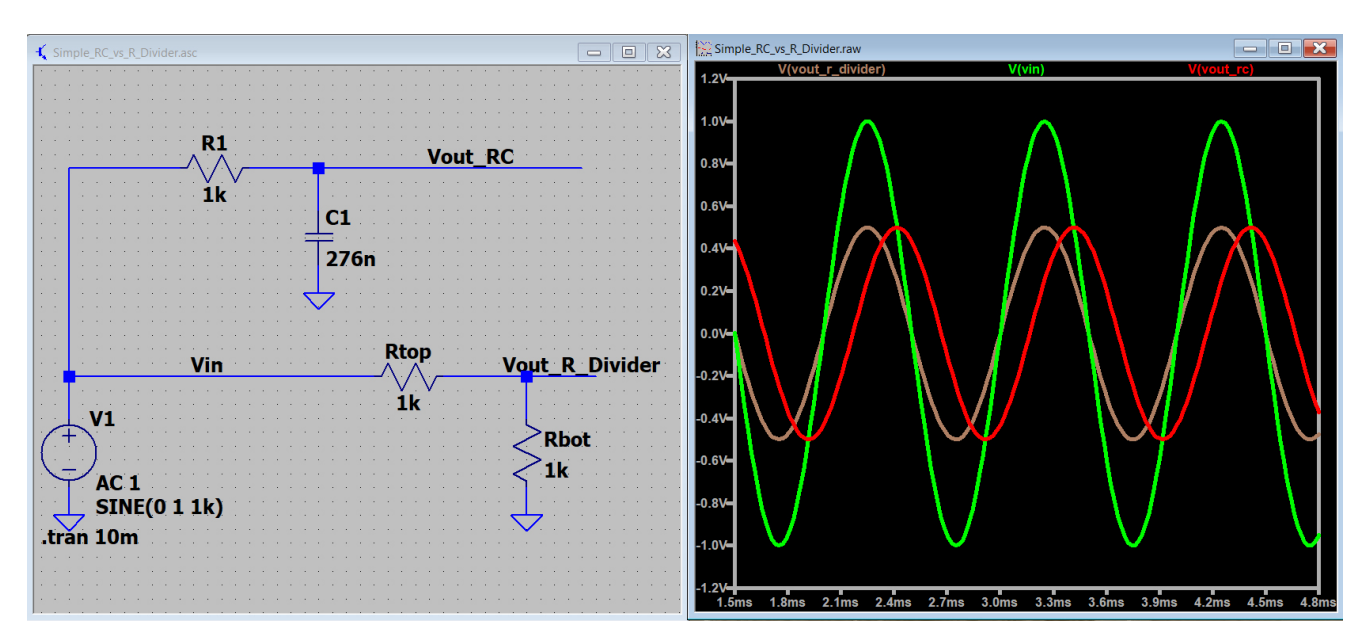


図2.2種類の回路とその信号波形。抵抗分圧器でもRC回路でも、 f = 1kHzにおいて振幅は1/2になります。RC回路では遅延も生じます。















したがって、それらに対応する伝達関数も2つ存在します。まず、 抵抗分圧器の伝達関数は、次のような単純なものになります。

$$H(s) = \frac{1}{2} \tag{1}$$

抵抗R1とコンデンサC1から成るRC回路はもう少し複雑です。 その伝達関数は、以下のようになります。

$$H(s) = \frac{\frac{1}{sC}}{R + \frac{1}{sC}} = \frac{1}{1 + sRC} = \frac{1}{1 + \frac{s}{\omega_p}}$$
(2)

このような形で伝達関数を記述すれば、極とゼロについて把握す ることができます。この例の場合、 $\omega_p = 1/RC$ に極が1つ存在 します。ここで、図2のグラフをご覧ください。RC回路の出力 (赤色)は、1kHzの正弦波です。その振幅は、抵抗分圧器の出力 振幅と等しいものの、位相は遅れていることがわかります。伝達 関数にラプラス変換を適用すれば、RC回路のゲインと位相が周 波数に応じてどのように変化するのか把握することができます。 図2の回路図に対応するサンプル・ファイル (Simple_RC_vs_R_ Divider.asc1) は、当社のサイトからダウンロードすることがで きます(以下、各サンプル・ファイルのリンクは、稿末の参考資 料のセクションにも示してあります)。

LTspice におけるラプラス変換の使い方

LTspiceでラプラス変換を利用するには、まず、回路図上に電圧 制御電圧源(Voltage Dependent Voltage Source)を配置し ます。その際には、図3に示すダイアログ・ボックスを使用します。

次に、配置した電圧源を右クリックし、Component Attribute Editorを開きます(図4)。同エディタが開いたら、Valueフィー ルドにおいて「Laplace =」の形で式を入力します。このとき、 式には複素変数sが含まれていなければなりません。図4の式に おいて、CとRについては、.stepコマンドで値を変化させられる ようにするために波括弧で囲んでいます。

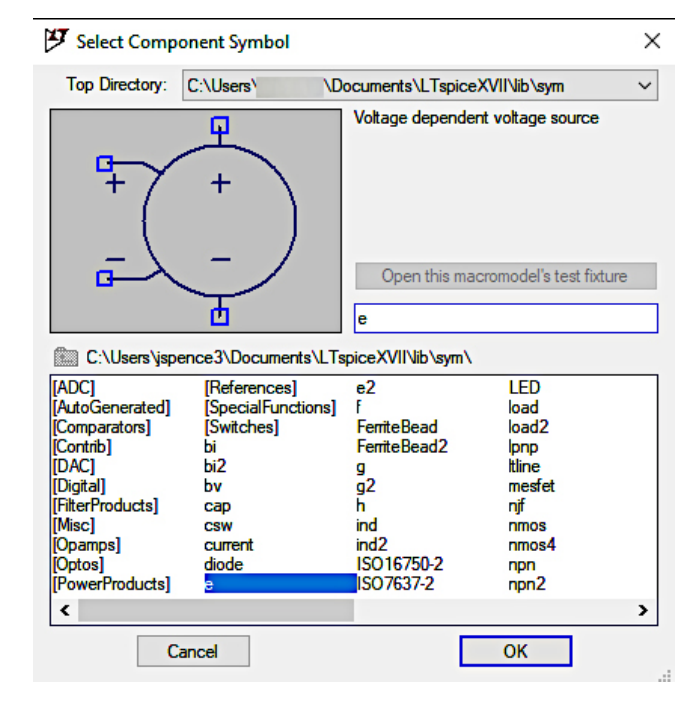


図3. 電圧制御電圧源の配置に使用する ダイアログ・ボックス

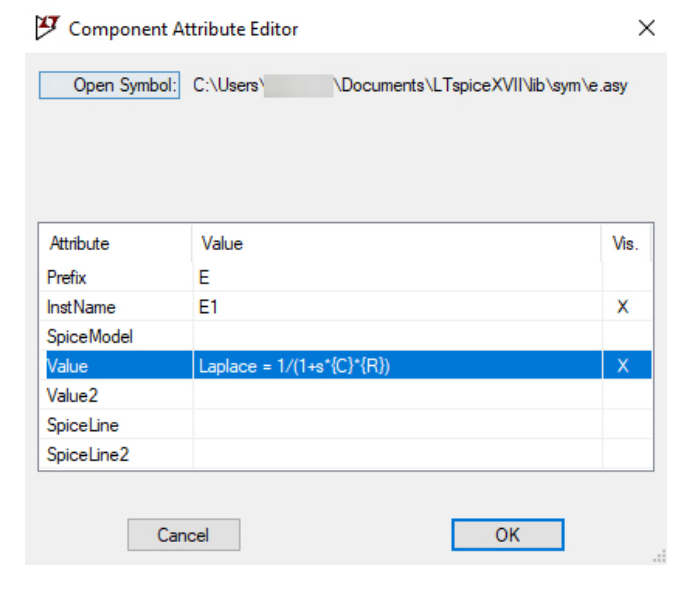


図 4. Component Attribute Editorの操作画面。 Value フィールドに式を入力します。

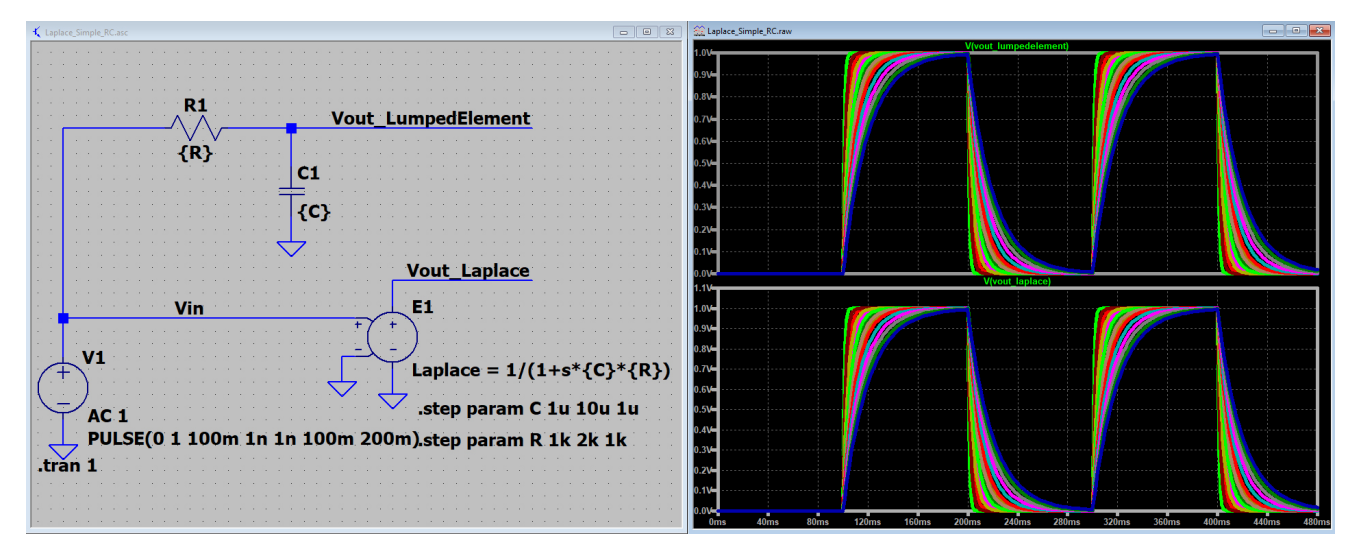


図5. RC回路のシミュレーション結果。回路図の下側には、RC回路と等価な伝達関数を配置しています。 この伝達関数は、ラプラス変換を使用して記述しています。併せて、そのシミュレーション結果も示しました。

図5に、RC回路のステップ応答のシミュレーション結果を示しま した。併せて、ラプラス変換を使用して記述した、それと等価な 伝達関数のシミュレーション結果も示しています。これらを見れ ば、両者の出力として同様の波形が得られることがわかります2。

なお、伝達関数の記述が長くなる場合には、対応する括弧を自動 的にハイライト表示してくれるコード・エディタ(テキスト・エ ディタ)を使用するとよいでしょう(図6)。エディタ上で式を入 カ/コピーし、LTspiceのダイアログ・ボックスにペーストする といった具合です。

Laplace = $1/(1+s*{C}*{R})$

図6. テキスト・エディタのハイライト表示機能

極とゼロについてのおさらい

以下に示すのは、伝達関数の例です。

$$H(s) = \frac{\omega_{p0}}{s} \times \frac{1 + \frac{s}{\omega_z}}{1 + \frac{s}{\omega_{p1}}}$$
(3)

この式には、 ω_{00}/s という項があります。これは、原点に極が存 在するということを意味します。以下、この極を原点極と呼ぶこ とにします。原点極が存在するというのは、積分器が存在するこ とと同義です。つまり、低い周波数において非常に高いゲインを 供給するために使うことができます。その結果、制御システムに おいて、定常状態の誤差を除去することが可能になります。具体 的には、原点極により、90°の位相遅れが生じ、-20dB/decのゲ イン応答が得られます。 ω_{po} は、原点極によってゲインが0dBに なる周波数を表します。

分子と分母の根を導き出せば、ゼロと極の周波数を求めることが できます。それらの根の大きさ(絶対値)が、極とゼロの周波数 です。ゼロの周波数の周辺では、位相は90°進み、ゲインは増大 します。極の周波数の周辺では、位相は90°遅れ、ゲインは低下 します。

続いて、以下の伝達関数について考えます。

$$H(s) = \frac{s}{\omega_{z0}} \times \frac{1 + \frac{s}{\omega_z}}{1 + \frac{s}{\omega_{z1}}}$$
(4)

最初のsの項は、原点にゼロが存在するということを意味します。 以下、このゼロを原点ゼロと呼ぶことにします。原点ゼロは、純 粋な微分器に相当します。位相は90°進み、ゲインは周波数が高 くなるほど増加して周波数 ω_{z0} で0dBになります。

図7に示したのは、様々な極とゼロをLTspice上で表現した例で す。それぞれ1kHzの周波数に対応しています。ゲインと位相の シミュレーション結果は、図8のようになります。図7の回路の サンプル・ファイルは、PoleZeroExamples.asc³として用意し ています。

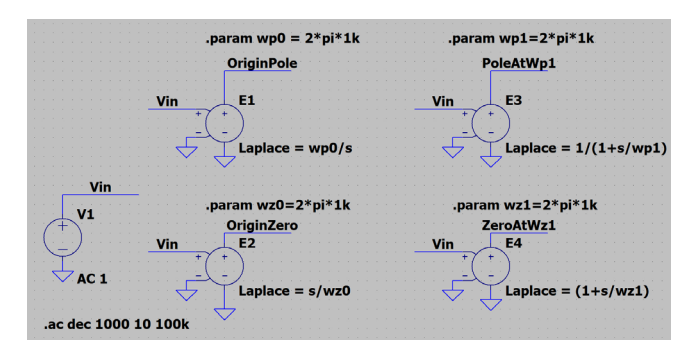


図7. 極とゼロの表現



図8. 極とゼロのゲインと位相 (周波数はすべて1kHz)

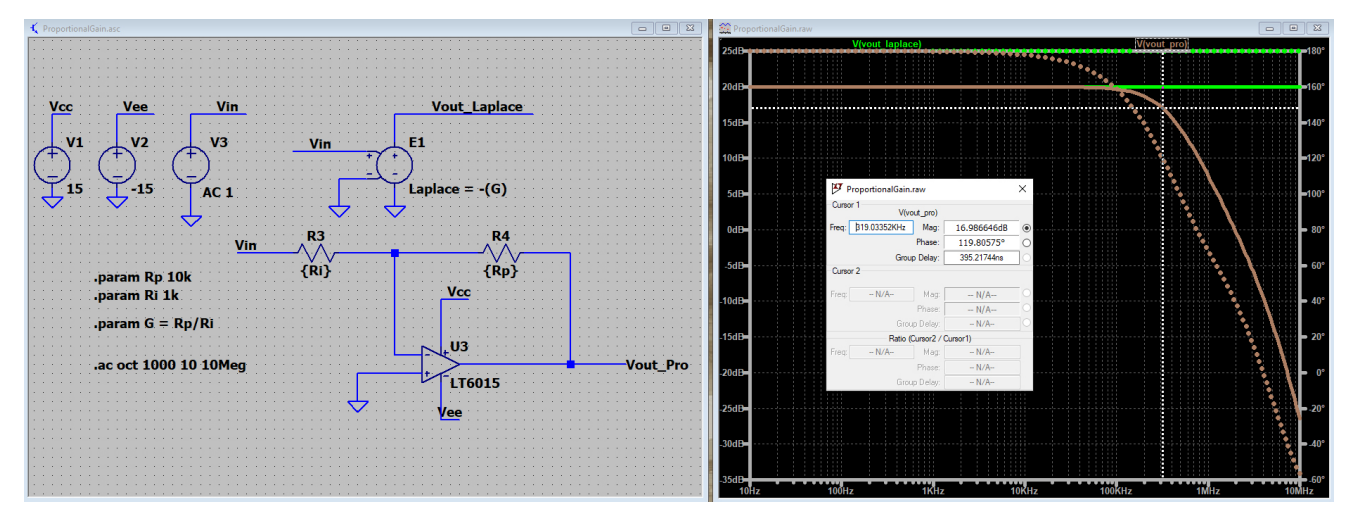


図9. 比例ゲインを実現する伝達関数と 現実のオペアンプ回路

モデルと現実の回路の比較

上述したように、LTspiceを使えば伝達関数のモデリングが行え ます。この手法を活用すれば、モデル化されたコンポーネントか ら成る大きなライブラリを構築できます。最初の例として、比例 ゲインを与える反転型のオペアンプ回路を取り上げます。その伝 達関数は、理想的には $H(s) = -R_p/R_i$ となります。つまり、入力電 圧にゲインを乗じ、位相を180°シフトした値が出力されるはずで す。しかし、現実の回路(オペアンプ「LT6015」を使用)では、 図9のような結果になります。これを見ると、約320kHzにおい てゲインは理想値から3dBロールオフし、位相も大きくずれてい ます。図9の回路のゲインは-10V/Vで、LT6015のゲイン帯域 幅は3.2MHzです。そのため、このような結果になります。

LTspiceでは、波形ビューワに解析用の式を入力して結果を表示 することができます。そこで、理想的な式と現実のオペアンプ回 路のゲイン/位相の差を確認するために波形を追加してみましょ う。これは、波形ビューワ上を右クリックし、「Add Traces」 を選択することによって行えます。ここで、一方のノードの電 圧で他方のノードの電圧を除算する式を追加します。つまり、 V(vout_pro)/V(vout_laplace)という式を追加するということで す (図10)。

図11に示したのが、上記の操作を行った結果です。ご覧のよう に、ゲインと位相を比較することができます。このグラフから、 低い周波数領域では、ゲインの差はOdBで、位相のずれも生じ ないことがわかります。図9に対応するサンプル・ファイルは、 ProportionalGain.asc⁴です。

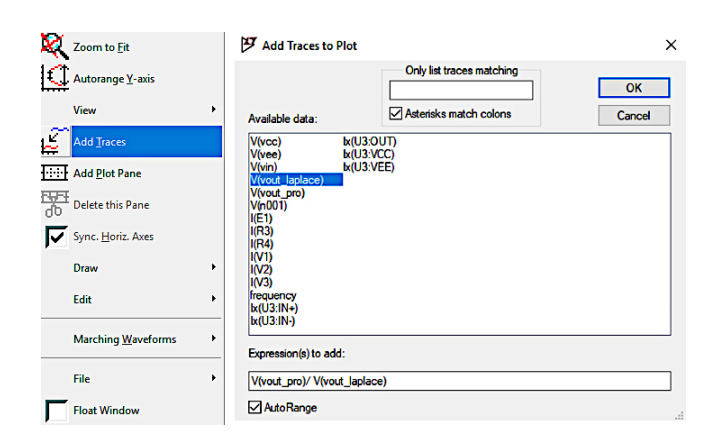


図10. 式の入力。 この式によって得られる波形を追加で表示できます。

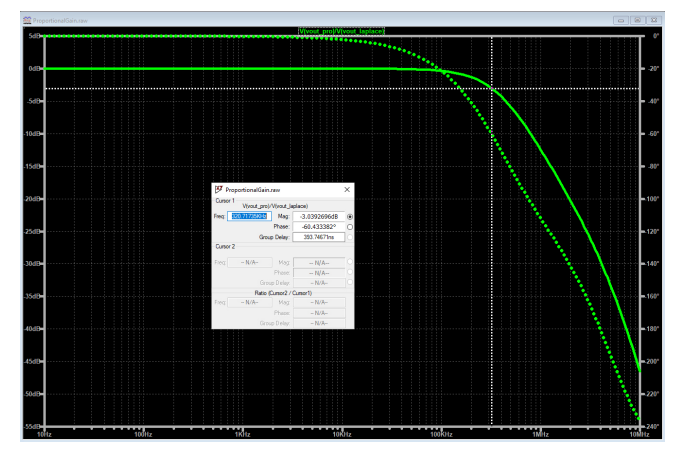


図 11. 2つの波形の表示結果。 2つの出力のゲインと位相を比較しています。

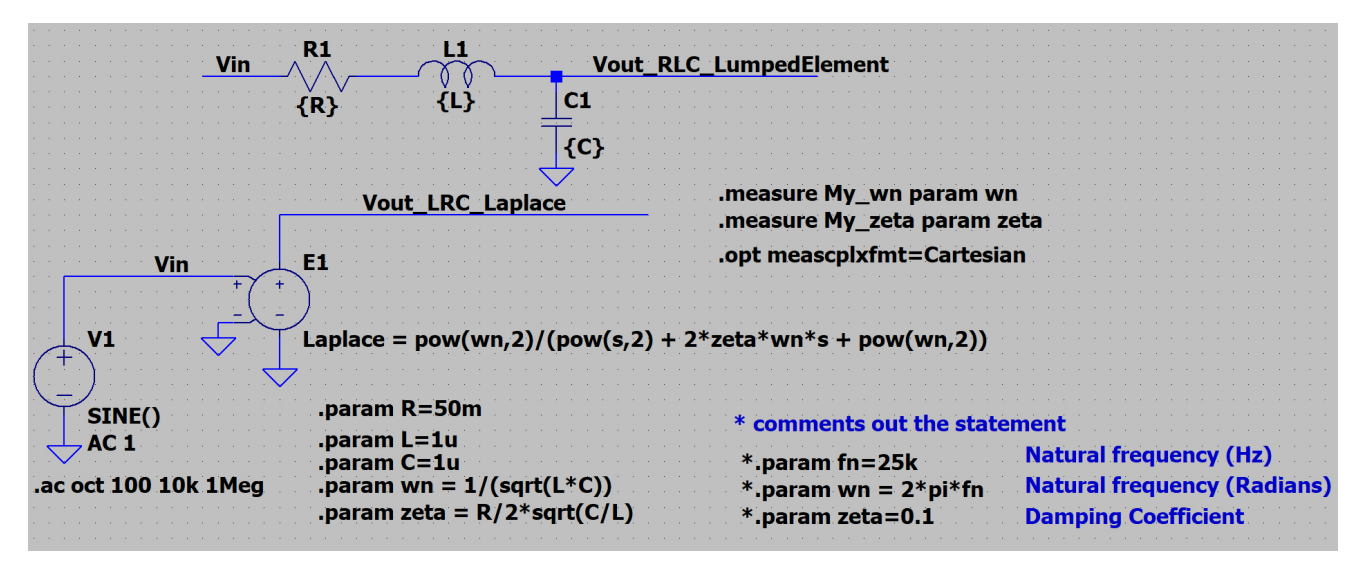


図12. RLC回路として構成した 2次システム

RLC回路として構成した2次システム

続いて、RLC回路として構成した2次システムを例にとります。 2次システムについては、稿末に示した参考資料5をご覧くださ い。

2次システムの伝達関数は、次のようになります。

$$H(s) = \frac{\omega_n^2}{s^2 + 2\zeta W_n + \omega_n^2} \tag{5}$$

LRC回路として実装した場合、次のような式が成り立ちます。

$$\omega_n = \frac{1}{\sqrt{LC}}, \zeta = \frac{R}{2} \times \sqrt{\frac{C}{L}}$$

図12に示したのは、LTspice上で構成した回路と伝達関数です。 この例の場合、回路で使用するR、L、Cの値を指定することがで きます。伝達関数では、減衰係数 ζ と共振周波数 ω _nを指定する ことが可能です。

この2次システムの周波数応答を図13に示しました。ご覧のよ うに、一般的に望ましくないとされるピーキングが発生していま す。例えば、降圧レギュレータ向けにEMI(電磁干渉)対策用の フィルタを設計する場合には、このようなピークを減衰させなけ ればなりません。図12の回路のサンプル・ファイルをLRC AC Analysis.asc⁶として用意しました。

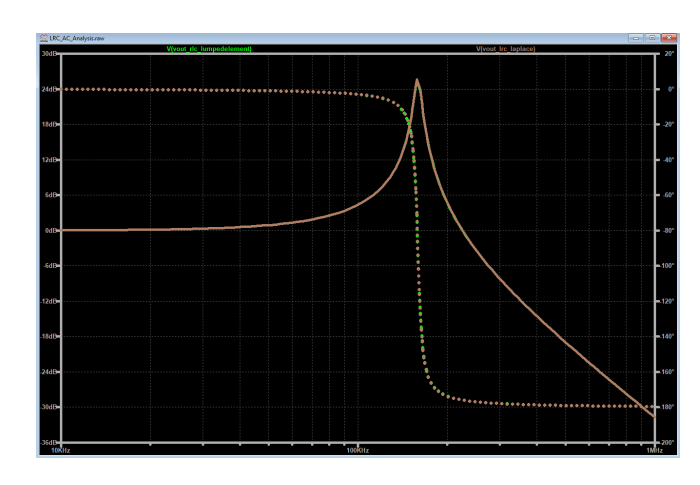


図13. 図12のRLC回路の周波数応答

微分器と安全極

図14に示したのは、微分器の回路/伝達関数とそれぞれのシ ミュレーション結果です。ご覧のように、原点ゼロが存在するこ とから、周波数に対して20dB/decでゲインが増加します。微分 器は、周波数の高い信号に対する応答を高めるために使用できま す。実際には、純粋な微分器ではなく、安全極を追加したものが 使われます。安全極を追加する目的は、システムが周波数の高い ノイズに過敏に反応しないようにすることです。このオペアンプ 回路では共振のピークが生じていることにも注目してください。 このピークは、システムを制御する際に問題になる可能性があり ます。

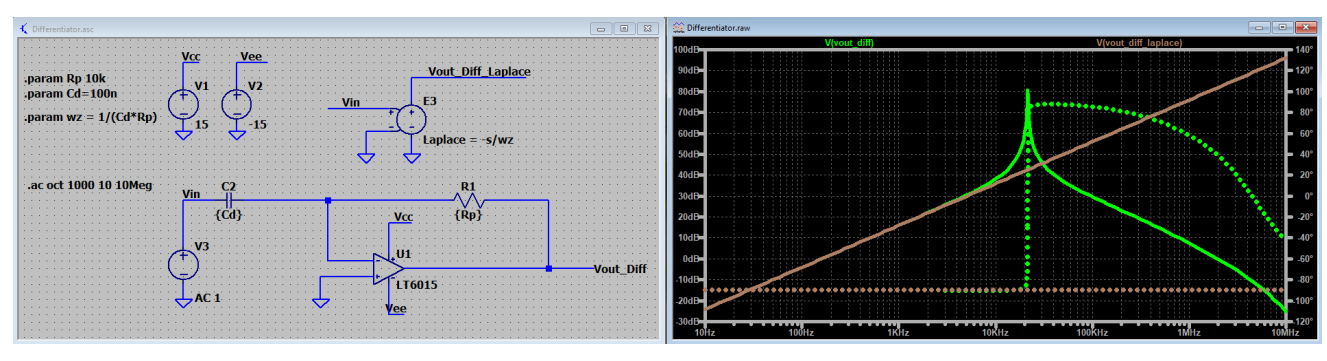


図14. 微分器の回路/伝達関数と シミュレーション結果

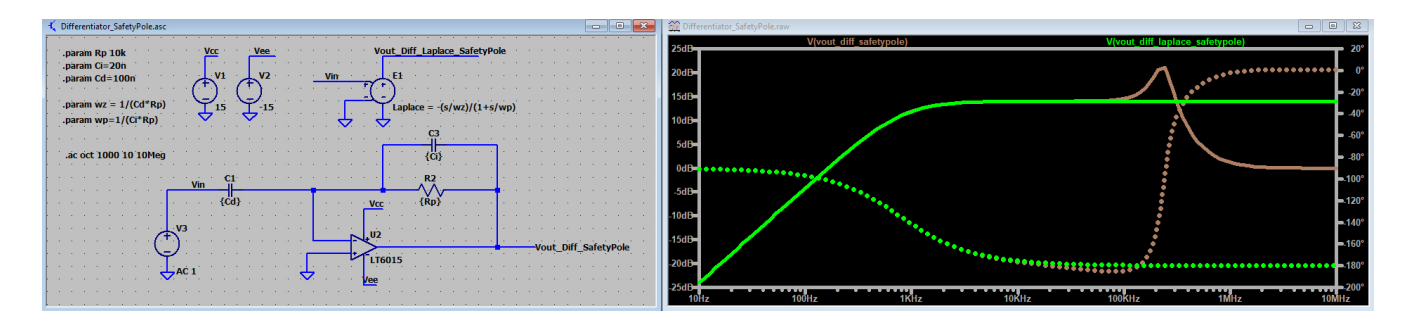


図15. 安全極を付加した微分器の回路/伝達関数とシミュレーション結果

この回路のゼロ(ゲインがOdBと交差する点)は、以下の式で求められます。

$$f_z = \frac{1}{2\pi \times 100 \text{ nF} \times 10 \text{ k}\Omega} = 159 \text{ Hz}$$
 (6)

ここでは、上記の5倍の周波数に安全極を配置することにします。 図15に示したのが、安全極を追加した微分器です。その周波数は、5×159Hz = 796Hzに設定しています。現実の回路では、 入力コンデンサの1/5の値の帰還コンデンサを付加しています。 伝達関数は、次のようになります。

$$H(s) = \frac{-s}{\omega_z} \times \frac{1}{1 + \frac{s}{\omega_p}}$$
 (7)

ここで、 $\omega_z=1/R_pC_d$ 、 $\omega_p=1/R_pC_i$ です。図15の右側に示したシミュレーション結果から、安全極により、その極周波数に近づくにつれてゲインと位相の値が低下することがわかります。また、オペアンプに起因するピーキングも抑えられます。

FOPDモデルの活用

システムの動作をモデル化する場合には、FOPD (First-Order Plus Delay) モデルを利用すると便利です。FOPDモデルについて簡単に説明すると、固定の遅延、フルスケールの応答、時定数でプロセスを表現したものということになります。詳細については、稿末の参考資料7をご覧ください。

ラプラス変換を用いて固定の遅延を表現すると、以下のようになります。

$$L\{\delta(t-\tau)\} = e^{-\tau \times s} \tag{8}$$

時定数は、1 - 1/e = 63.2%と定義されます。FOPDモデルは次のようになります。

$$H(s) = \frac{k_{pF}}{1 + s \times \tau_F} e^{-s\theta_F} \tag{9}$$

ここで、変数/定数の意味は以下のとおりです。

k。: フルスケールの出力

τ :: 時定数

 θ .: 遅延時間

図 16 は、フルスケールが 100、時定数が 10 秒、遅延が 1 秒のシステムの伝達関数です。t=1 (秒)でステップ信号を印加すると、t=12 (秒)で出力は 63.2 V になります (図 17)。このシミュレーションに対応するファイルは t=0 FOPD. t=0 F

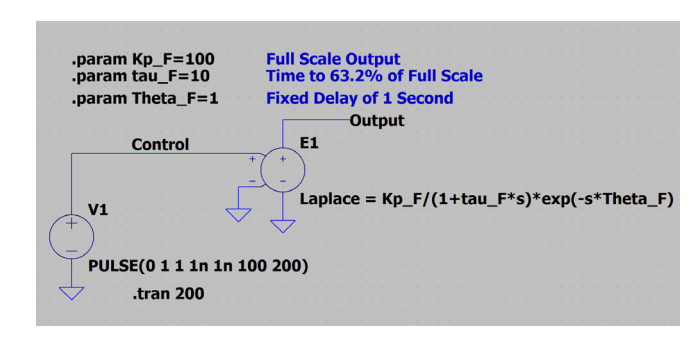


図 16. FOPD モデルを採用した伝達関数

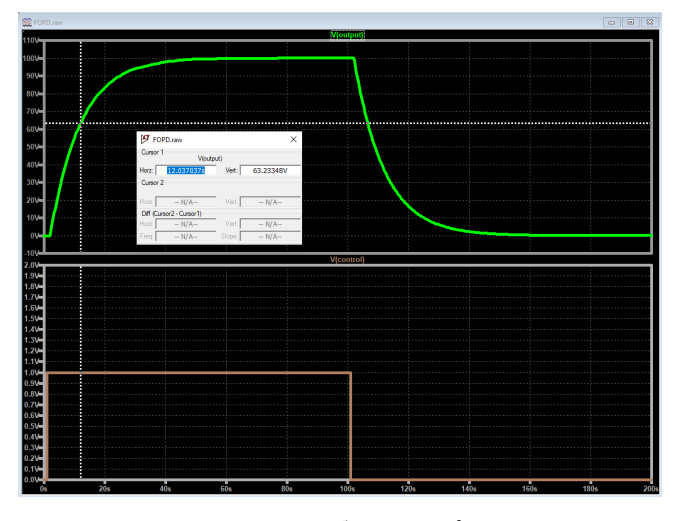


図17. 図16のモデルのステップ応答

LTspice による補償回路の設計

制御システムの設計には、いくつもの学術分野にまたがる豊富な 知識が必要になります。クローズドループ制御を行うシステムで は、補償回路が重要な要素になります。制御するシステムの伝 達関数が明らかになったら、ゲインと位相の調整を行うための補 償回路を設計することになるでしょう。その目的は、クローズド ループの安定性と性能を確保することです。

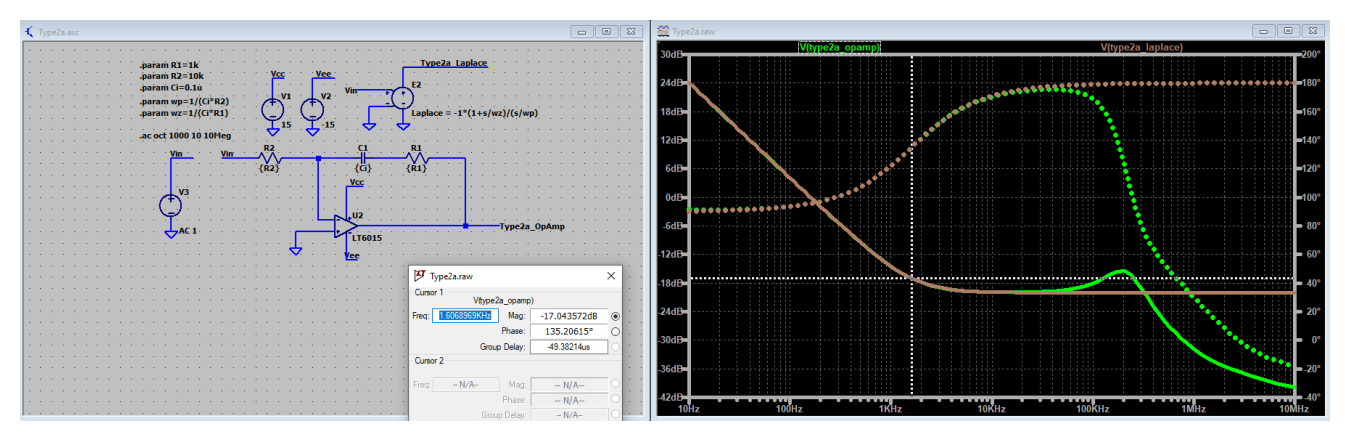


図18. タイプ2aの補償回路を適用した オペアンプ回路

タイプ2aの補償回路

多くのシステムでは、タイプ2aの補償回路を適用することによっ て目標を達成できます。タイプ2aの補償回路には、原点極(積 分器) とゼロが存在します。 負のフィードバックによる 180°の 位相遅れに加え、原点極によって更に90°の固定の遅延が追加さ れます。また、ゼロを配置することにより、追加された90°の位 相シフトは高い周波数領域においては排除されます。特定の周波 数においてどれだけの位相シフトが得られるようにするかを決定 し、それに応じてゼロを配置します。

図18に示したのは、オペアンプを使用した制御回路にタイプ2a の補償回路を適用した例です。タイプ2aの補償回路の伝達関数 は、以下のようなものになります。

$$H(s) = -\frac{1 + \frac{s}{\omega_z}}{\frac{s}{\omega_p}} \tag{10}$$

原点極の周波数は $\omega_p = 1/R_2C_i$ 、ゼロの周波数は $\omega_z = 1/R_1C_i$ で す。

この例でも、オペアンプの影響は明らかです。周波数が高くなる と、ゲインと位相の両方が理想の値から外れてロールオフしてい きます。図18の回路のサンプル・ファイルは、Type2a.asc⁹です。

タイプ2の補償回路

タイプ2の補償回路は、原点極ならびに極とゼロのペアで構成さ れます (図19)。その伝達関数は、以下のようになります。

$$H(s) = -\frac{G_0 \left[1 + \frac{s}{\omega_{z_1}} \right]}{S \left[1 + \frac{s}{\omega_{z_1}} \right]} \tag{11}$$

極とゼロは以下のようになります。

$$\omega_{Z_1} = \frac{1}{R_2 C_2} \cdot \omega_{P_1} = \frac{1}{R_2 \frac{C_1 C_2}{C_1 + C_2}} \cdot G_0 = \frac{1}{R_1 (C_1 + C_2)}$$
 (12)

ここで、設計者はジレンマに陥ります。RsとCsの値は、極とゼ

口の両方に影響を及ぼします。また、極とゼロをどこに配置す るのかという問題も解決しなければなりません。稿末の参考資 料17では、具体例を基にこの設計プロセスについて詳しく解説 しています。本稿では、その方法を適用したLTspice用のサンプ ル・ファイルとしてType2_autoCalcs.asc¹⁰を用意しました。 図20は、このサンプルの出力を示したものです。10kHzにおい て、10dBの減衰と30°の位相の進みを実現するという目標が達 成できています。この例でも、高い周波数領域において、理想と は異なる現実のオペアンプの影響が現れています。

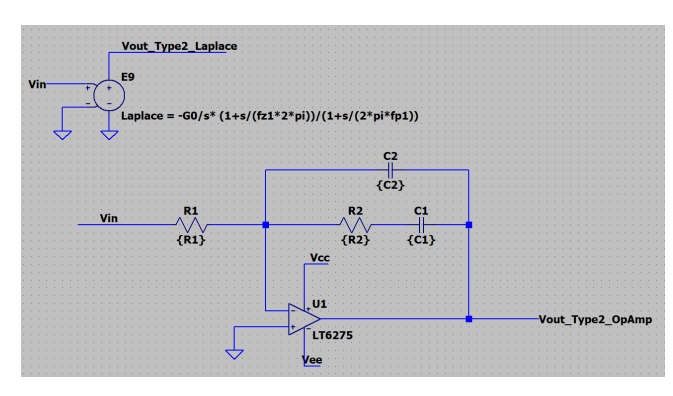


図19. タイプ2の補償回路を適用した オペアンプ回路/伝達関数

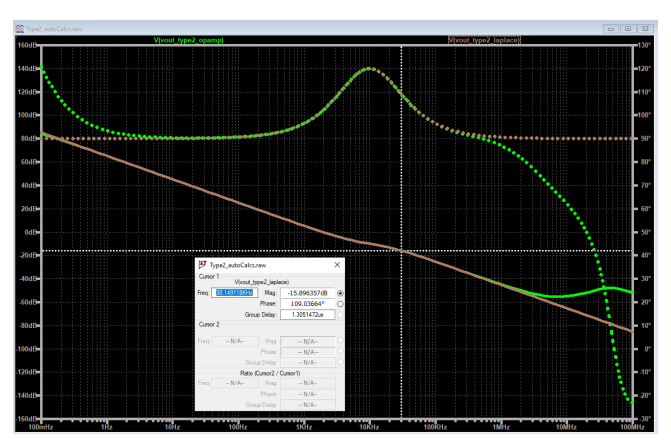


図20. タイプ2の補償回路を適用した場合の 周波数応答

タイプ3の補償回路

タイプ3の補償回路は、図21のようなものになります。ご覧の ように、その伝達関数はより複雑です。これは、位相をより大き く進めたい場合に使用します。この構成では、まず負帰還によっ て180°の位相遅れが生じます。ただ、ゼロが2つ存在するので、 位相は180°進む可能性があります。2つの極は、高い周波数領域 におけるゲインと位相をロールオフするために配置します。伝達 関数は、以下のようになります。

$$H(s) = -\frac{G_0 \left[1 + \frac{s}{\omega_{z_1}} \right] \left[1 + \frac{s}{\omega_{z_2}} \right]}{S \left[1 + \frac{s}{\omega_{p_1}} \right] \left[1 + \frac{s}{\omega_{p_2}} \right]}$$
(13)

極とゼロは、以下のようになります。

$$G_{0} = \frac{1}{R_{1}(C_{1} + C_{2})}, \quad \omega_{Z_{1}} = \frac{1}{R_{1}C_{2}}, \quad \omega_{Z_{2}} = \frac{1}{(R_{1} + R_{3})C_{3}},$$

$$\omega_{P_{1}} = \frac{1}{R_{2}\frac{C_{1}C_{2}}{C_{1} + C_{2}}}, \quad \omega_{P_{2}} = \frac{1}{R_{3}C_{3}}$$
(14)

タイプ2の補償回路の場合と同様に、極とゼロの位置を選択して、 RsとCsの値を計算するプロセスが必要です。参考資料17では、 その設計プロセスについても説明しています。ここでは、その 方法を適用したLTspice用のサンプル・ファイルとしてType3_ autoCalcs.asc¹¹を用意しました。このサンプルの出力は、図 22 のようになります。ご覧のように、5kHzにおいて10dBの減衰と 145°の位相の進みを実現するという目標を達成できています。こ の例でも、高い周波数領域では、現実のオペアンプの影響が現れ ています。

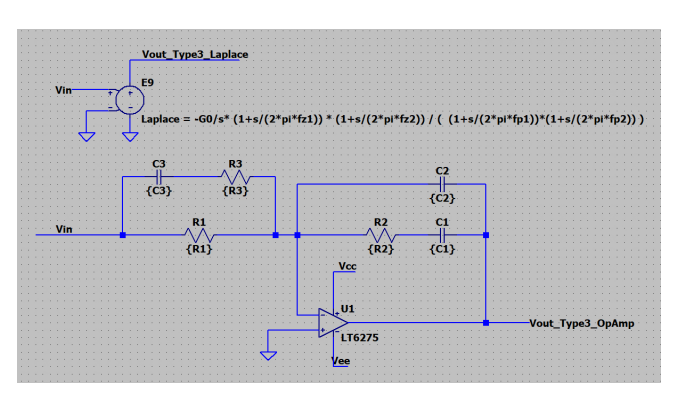


図21. タイプ3の補償回路を適用した オペアンプ回路

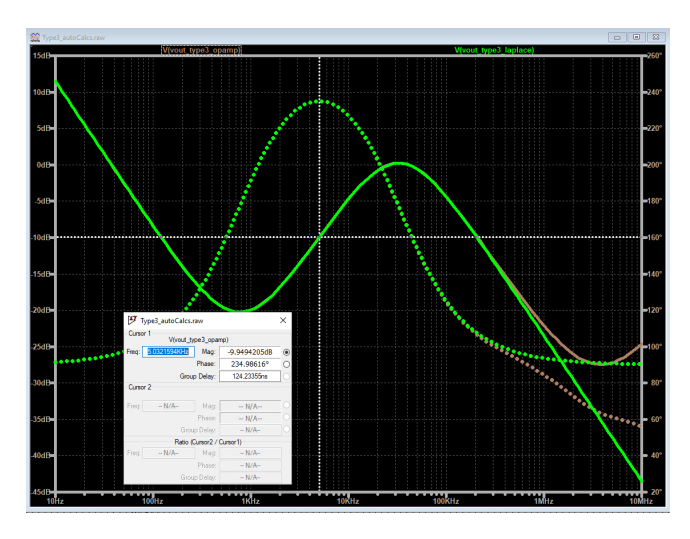


図22. タイプ3の補償回路を適用した場合の 周波数応答

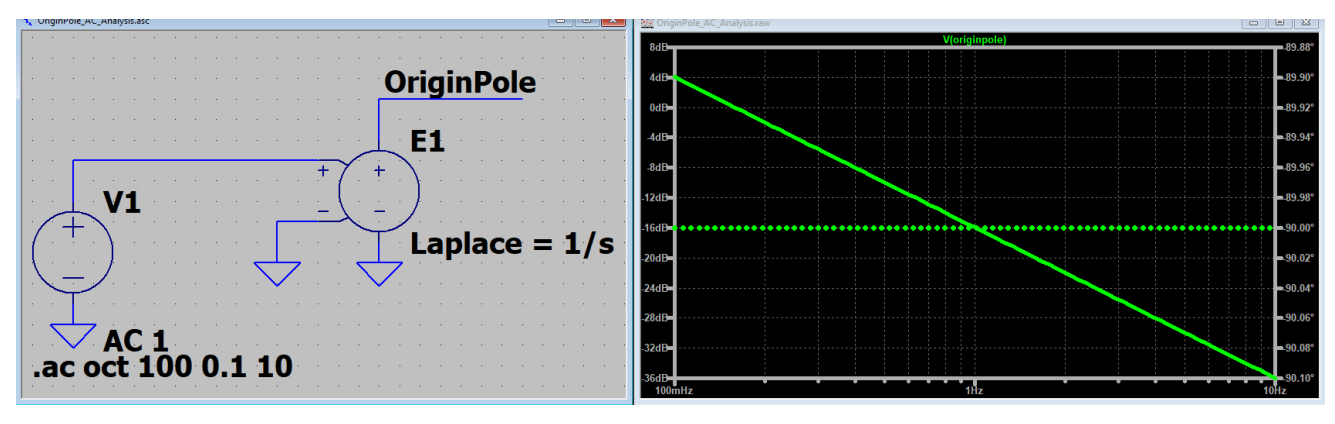


図23. 原点極のAC解析。正しく実行されています。

時間領域における原点極

ここまで、回路素子とラプラス変換を使用してLTspice上で伝達 関数を表現する方法を説明してきました。使用した例は、すべて 周波数領域のものでした。そうなると、次は伝達関数を時間領域 で解析したいと考えるのが自然な流れです。つまり、ステップ応 答を確認できるようにしようということです。そのためには、原 点極とその表現方法の問題を解決する必要があります。原点極 (つまりは純粋な積分器) の伝達関数はH(s) = 1/sです。この伝 達関数は、周波数領域であれば正しく機能します(図23)。しか し、時間領域ではエラーが発生します(図24)。

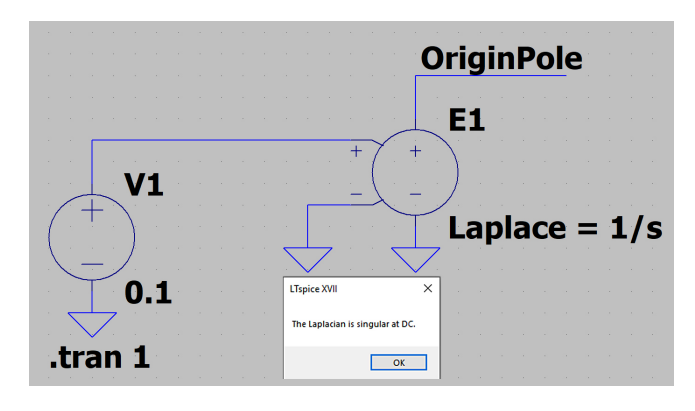


図24. 原点極のトランジェント解析。 エラーが発生しています。

この問題を回避するには、電圧制御電圧源の代わりに、ビヘ イビア電圧源とidt関数を使用します。つまり、図25のよう な回路を用意します。この図には、帰還システムの一部も示さ れています。そこでは、セットバックと静的帰還電圧の比較が 行われます。この回路のサンプル・ファイルを、OriginPole_ TransientAnalysis_idt.asc¹²として用意しました。

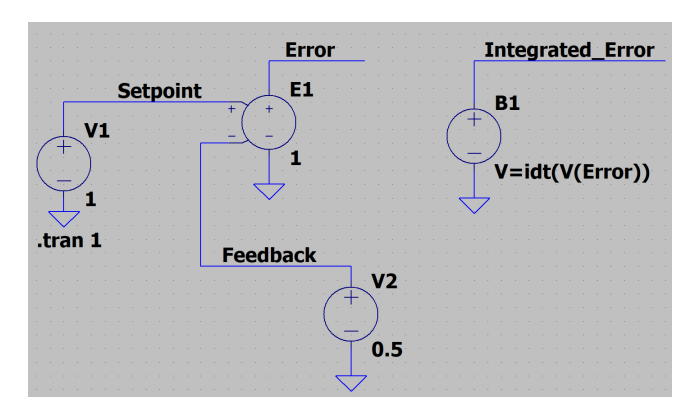


図 25. 時間領域でも適切に動作可能な構成

フィルタの設計

アナログ・デバイセズは、「リニア回路設計ハンドブック」を提 供しています¹³。これは、当社がリリースしている膨大な学習用 リソースのうちの1つです。その第8章には、アナログ・フィル タに関する説明があります。そこで紹介されている各種フィルタ のラプラス表現を、Laplace_Filters_LinearSystemsBook.asc¹⁴ というサンプル・ファイルとして用意しました。併せて、アクティ ブ・フィルタの設計を支援する「Precision Toolbox」のフィル タ設計のセクションも参照してください¹⁵。

まとめ

本稿では、集中素子表現とラプラス変換に基づく式を比較しな がら、伝達関数の活用方法について説明しました。紹介した数多 くの例は、机上で学んだ理論を現実の回路に結びつけるという 意味で有益です。また、実際の設計において、様々な補償回路 を使用する際に役立つはずです。なお、LTspiceは補償回路の設 計と理解に役立ちますが、スイッチング電源の設計については LTpowerCADが適切なツールになります16。電源を設計する際 には、LTpowerCADが補償回路を構築するための強力(で最適) な手段になることを覚えておいてください。

謝辞

本稿で紹介したシミュレーションは、すべてLTspiceで実行しま した。本稿の執筆にあたり助言いただいたコロラド大学ボルダー 校のShalom D. Ruben博士に感謝します。

参考資料

- ¹ Simple_RC_vs_R_Divider.asc、Analog Devices
- ² Laplace_Simple_RC.asc、Analog Devices
- ³ PoleZeroExamples.asc、Analog Devices
- ⁴ ProportionalGain.asc、Analog Devices
- ⁵ Simon Bramble 「2次システムの電子制御理論――技術者のた めの実践的な解析」Analog Dialogue、Vol. 54、No. 3、2020 年9月
- ⁶ LRC_AC_Analysis.asc、Analog Devices
- ⁷ John D. Hedengren 「Dynamic Process Modeling (動的プ ロセスのモデリング)」
- 8 FOPD.asc. Analog Devices
- ⁹ Type2a.asc、Analog Devices
- ¹⁰ Type2_autoCalcs.asc、Analog Devices
- 11 Type3_autoCalcs.asc、Analog Devices
- ¹² OriginPole_TransientAnalysis_idt.asc、Analog Devices
- 13 Linear Circuit Design Handbook (リニア回路設計ハンドブッ ク)、Analog Devices, Inc.、2008年
- ¹⁴ Laplace_Filters_LinearSystemsBook.asc、Analog Devices
- ¹⁵ ADI Precision Studio、Analog Devices
- ¹⁶ Henry Zhang [Application Note 149: Modeling and Loop Compensation Design of Switching Mode Power Supplies (アプリケーション・ノート149:スイッチング・モー ド電源のモデリングとループ補償設計)」Linear Technology、 2015年1月

¹⁷ Christophe Basso [Designing Control Loops for Linear and Switching Power Supplies (リニア電源/スイッチング電 源の制御ループの設計)」Artech House、2012年10月

Differentiator_SafetyPole.asc、Analog Devices

Type3_autoCalcs_steps.asc、Analog Devices

著者について

Joseph Spencer (joseph.spencer@analog.com) は、 アナログ・デバイセズのフィールド・アプリケーション・エ ンジニアです。2013年にLinear Technology (現在はアナ ログ・デバイセズに統合) に入社。専門は高性能なアナロ グ/RFソリューションで、ユタ州とアイダホ州のお客様を サポートしています。以前は、L-3 Communicationsでソ フトウェア無線用のハードウェアの設計/設計管理を担当 していました。Maxim Integratedでアプリケーション/テ ストに関する業務に携わった経験も持ちます。ユタ大学で 電気工学の学士号と修士号を取得しています。

EngineerZone® オンライン・サポート・コミュニティ

アナログ・デバイセズのオンライン・サポート・コミュ ニティに参加すれば、各種の分野を専門とする技術者と の連携を図ることができます。難易度の高い設計上の問 題について問い合わせを行ったり、FAQを参照したり、 ディスカッションに参加したりすることが可能です。



SUPPORT COMMUNITY

Visit ez.analog.com

*英語版技術記事はこちらよりご覧いただけます。

